

## 1. まえがき

膨張コンクリートと鉄筋との複合作用の結果コンクリートに導入されるケミカルプレストレスを推定できるようになることが、膨張コンクリート部材の設計に重要なことである。基礎的な実験として鉄筋コンクリート部材を二次元にモデル化して供試体について、ケミカルプレストレスの推定方法を検討した。そして膨張コンクリートが乾燥をうけた場合のケミカルプレストレスの効果を丁寧に検討した。次にケミカルプレストレスの利用方法としてねじり抵抗に関する効果を検討した。本研究について終始御指導していただき、京都立大学 村田二郎教授に感謝するとともに、昭和48年度吉田研究奨励金を授与されたことを付記し感謝を表します。

## 2. ケミカルプレストレスの推定

(1) 推定の方法 膨張コンクリートがその内部に配置された鉄筋の付着応力によって拘束される場合には、ケミカルプレストレスは断面に沿って一様な分布とはならない。このように鉄筋コンクリート部材のケミカルプレストレスの分布を、一軸拘束された膨張量管理供試体の膨張性状を基にして次の三つの仮定によって解析した。1. 同一配合および同一養生条件のもとでのコンクリートの膨張は、作用しているケミカルプレストレスとこれに抗して膨張しうる変形量との積Kは一定である。2. 鉄筋から離れた位置におけるコンクリートの拘束は、鉄筋の拘束力がコンクリートのせん断剛性によって伝達される。3. 鉄筋の拘束量と鉄筋に接するコンクリートの拘束膨張量は等しい。

解析手順および解析モデルを図1, 2に示す。

(2) 実験方法 供試体は鉄筋コンクリート部材を二次元に理想化し、膨張量測定が簡単となるようにした。鉄筋の付着拘束の特性を考慮して、膨張量の測定は測長を全長60cmの中央部20cmにとりコンタクトゲージと鉄筋中央部に貼付したワイヤーストレインゲージを使用した。供試体の配筋は軸線中央に一本としたものと、中央より2cmの対称位置に異なる鉄筋径のものを組合せて配置したものについて試験した。使用した鉄筋の径はD10, 13, 16および19である。解析における入力データとなる膨張性状を示すKは鉄筋比0.95%の一軸拘束供試体(10×10×30cm, タイヤルゲージ法)から求めた。コンクリートの弹性定数は既定材料まで型枠拘束されたΦ10×20cmの円柱供試体から得られる値を使用した。これらの結果を図3に示す。

(3) 結果 図4はD13とD16とを用いたときの膨張量の測定値と計算値とを比較したものである。供試体の中央部は拘束度が低下するためにコンクリートの膨張量が大きくなることがわかる。この供試体の膨張量計算値を鉄筋の拘束歪で比較すると、D16では測定値の95%, D13では77%となっている。供試体の中心軸にD19一本を配

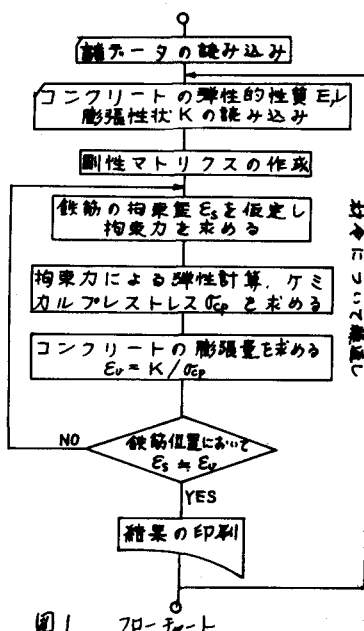


図1 フローチャート

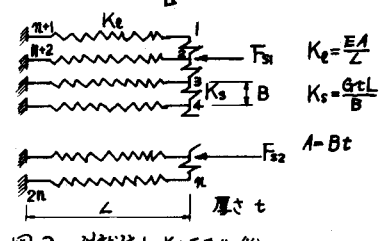
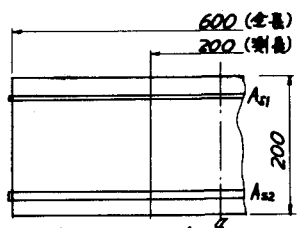


図2 供試体とそのモデル化

置したものでは 89% であった。一般に鉄筋量が小さいところでは計算値が実測値より低下する傾向があらわれた。

これはコンクリートの膨張性状を示す K や解析方法に弾性歪やクリープ歪等が考慮されていないためと考えられる。

図 5 は鉄筋の配置方法がケミカルプレストレスにおよぼす影響を計算した例である。D10 と D19 を両側に配置したときは、それぞれの鉄筋が単独でその位置に配置されていふときよりも大きめのケミカルプレストレスが導入される。

### 3. 長期安定性

膨張コンクリートが長期にわたって乾燥をうけた場合のケミカルプレストレスの効果を T 形はりの曲げ試験によって検討した。

(1) 実験方法 はりは全長 210cm, スパン 190cm であり中央部 60cm の区間で二点載荷とした。断面は突部幅 20cm, 厚さ 5cm, 腹部幅 10cm, 有効高さ 17cm となる。配筋は引張鉄筋 D19 ( $P = 0.84\%$ ), 圧縮鉄筋 2-D10 ( $P' = 0.42\%$ ) とし、6 のスターラップをせん断区间間に 10cm 間隔に配置した。コンクリートの配合は表 1 に示すとおりであり、10 日間の湿潤養生後所定材令まで室内に放置した。放置期間中の湿度は 67~88% で年平均 78% であった。

(2) 結果 試験したはりと同時に作製した強度試験供試体は試験材令まで型枠拘束のままで供試体と同じように放置した。この圧縮強度は普通コンクリートでは材令 1 ヶ月に比較して 1 年では  $14 \text{ kg/cm}^2$  の低下がみられるが、膨張コンクリートでは増大の傾向がある。試験したはりの側面で測定された乾燥収縮は材令 3 ヶ月でほぼ定状態となり、普通および膨張コンクリートとともに  $40 \sim 50 \times 10^{-5}$  に達した。材令 1 年では普通コンクリートはりの側面にわずかの乾燥収縮びびわれが観察されたが膨張コンクリートには発見されなかつた。これらのはりの曲げひびわれモーメントは図 6 に示すように膨張コンクリートは普通コンクリートの約 1.6 倍で全材令について変化がなかつた。これはケミカルプレストレスとして  $20 \sim 30 \text{ kg/cm}^2$  が導入されていふことに相当し、材令 1 年後にも十分ケミカルプレストレスが存在していふことが確認された。ひびわれ幅みよびたわみとともに膨張コンクリート部材は普通コン

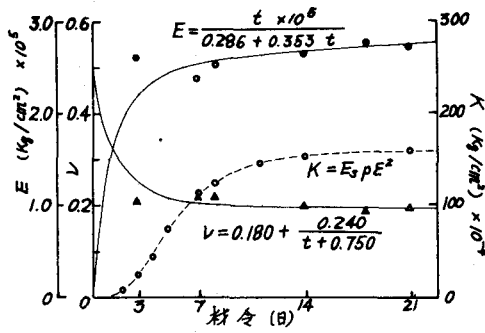


図 3 コンクリートの弾性定数と膨張係数

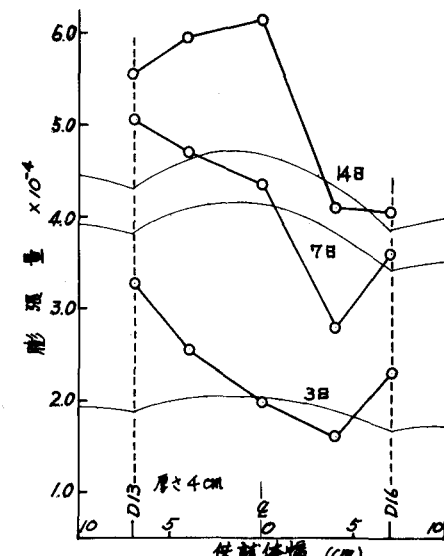


図 4 拘束膨張量の計算値と実測値

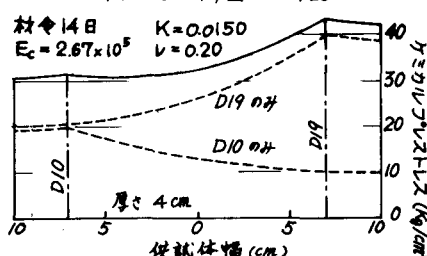


図 5 ケミカルプレストレスの鉄筋配置による影響

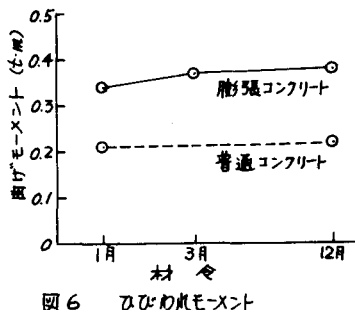


表 1 はりに使用したコンクリートの配合

W/C	W	C	CSA	S/a	S	G	Slump
%	kg	kg	kg	%	kg	kg	cm
45	158	301	50	43	809	1089	4.5

表 2 コンクリートの強度

	材令 (日)	正縮強度 (kg/cm²)	引張強度 (kg/cm²)
普通 コンクリート	1	384	30.3
	12	370	27.2
膨張 コンクリート	1	299	25.3
	3	368	31.8
	12	427	27.8

クリートより小さい傾向がある。

#### 4. ねじり抵抗

鉄筋コンクリート部材のねじり抵抗はコンクリートの引張強度に支配され、非常に小さいものである。そのため部材にケミカルプレストレスを導入して耐力を増大させることは膨張コンクリートの有効な利用方法と考えられる。本実験ではペイイルベント構造のねじりに対する安全性の確保とPCペイイルのねじり貫入工法を想定して実験をおこなった。

(1) 実験方法 モルタルを使用した外径100mmの小型供試体と、遠心力締固め、蒸気養生された外径300mmのくい試験体を作製した。小型供試体は外径300mmのくいの1/3の断面寸法となっており、試験材令4週まで湿潤養生されている。奥くい試験体は蒸気養生後2週まで水中養生し材令3週でねじり試験をおこなった。これらの供試体のケミカルプレストレスを推定するため、同一養生された一軸拘束の膨張量管理供試体を作製した。使用した膨張材は石灰系膨張材小野田エクスパンである。奥くい供試体の配合は工場製品に使用されている品質を参考にし、水セメント比0.37、単位セメント量420kg、膨張材はセメント量の約42kgを使用した。

(2) 結果 表3に示すようにらせん鉄筋量の増大にしたがって膨張コンクリート部材のひびわれ強度は増大している。シリーズAではらせん鉄筋を直巻きとして10mm間隔のもので $9.19 \times 10^3$  kg/cm<sup>2</sup>、45°方向に配置して間隔を19.3mmとしたもので $11.24 \times 10^3$  kg/cm<sup>2</sup>がえられた。シリーズBでは膨張コンクリート部材で最大1.66t/mである。膨張コンクリート部材のひびわれ強度はシリーズAで普通コンクリートの1.8~2.2倍、シリーズBで1.6倍のねじりに対する効果が認められた。膨張量管理供試体からえられた試験材令時におけるK値は図7中に示すようであり、これからケミカルプレストレスを推定した。管理供試体と試験体では拘束方法が異っているが、試験体の軸方向鉄筋比およびらせん鉄筋比を45°方向に換算した鉄筋比で推定計算をおこなった。この鉄筋比を横軸にとって図7に推定値とひびわれ時のせん断応力度を示した。シリーズBでは45°方向にE41, 42で14.1 kg/cm<sup>2</sup>, E31, 32で12.1 kg/cm<sup>2</sup>のケミカルプレストレスが計算される。これを普通コンクリート部材のひびわれ発生時の斜め引張応力度21.6 kg/cm<sup>2</sup>と重ね合せると、膨張コンクリート部材のひびわれ発生時の応力度に近似していることが分る。シリーズAでは鉄筋比の小ささとこうでコンクリートの品質の劣化のためねじり強度が低下しているものと思われる。Cowanと同じように純ねじりをうける部材のひびわれが最大主応力説にしたがうとするとき式がえられる。

$$M_{pc} = M_{rc} \cdot \sqrt{1 + \frac{\sigma_{cpv} + \sigma_{cpe}}{\sigma_{ct}} + \frac{\sigma_{cpv} \cdot \sigma_{cpe}}{\sigma_{ct}^2}}$$

(1)

$\sigma_{cpv}, \sigma_{cpe}$  : 円周方向、軸方向プレストレス  
 $\sigma_{ct}$  : コンクリートの引張強度  
 $M_{rc}, M_{pc}$  : 無筋、プレストレスコンクリートのひびわれ強度

機械的プレストレスとして47kg/cm<sup>2</sup>導入した部材のねじり強度を本式で推定すると実験値の0.98となる。膨張コンクリートの二方向のケミカルプレストレスを明確にすれば本式によってひびわれ強度が推定できると思われる。そして機械的プレストレスと膨張コンクリートとの併用によってさらにねじり強度の増大が期待できる。

参考文献：村田・国府・奥山：「ねじり抵抗くいの研究」 第29回セメント技術大会 講演要旨

表3 ねじり試験結果

試験号	スペーサー(%)	ひびわれ強度(モードニード)	高さ(%)	幅(%)	参考
N 011	1.8~10	$1.37 \times 10^3$	5.64	37.4	普通モルタル
E 111	1.8~10	$1.37 \times 10^3$	9.60	9.19	
E 112	1.8~10	$1.37 \times 10^3$	6.78		
E 121	1.8~20	$0.68 \times 10^3$	7.12	6.86	
E 122	1.8~20	$0.68 \times 10^3$	6.60	6.86	
E 131	1.8~30	$0.46 \times 10^3$	5.24	5.88	
E 132	1.8~30	$0.46 \times 10^3$	5.52	5.88	
E 211	1.8~19.3	1.00	11.24		
-S			45.45		
N 31	3~30	$0.41 \times 10^3$	$1.03 \times 10^3$	57.8	普通コンクリート
N 32	3~30	$0.41 \times 10^3$	$0.97 \times 10^3$	1.00	
E 31	3~30	$0.41 \times 10^3$	1.67	1.44	
E 32	3~30	$0.41 \times 10^3$	1.21		
E 41	4~30	$0.73 \times 10^3$	1.71	1.66	コンクリート
E 42	4~30	$0.73 \times 10^3$	1.60		
B 101	3~100	0.12	3.33		
B 102	3~100	0.12	3.63	3.42	普通JIS A 5335 A種
B 21	4~30	$0.73 \times 10^3$	3.27		
B 22	4~30	$0.73 \times 10^3$	3.47		

圧縮強度 { シリーズA  $\phi 10 \times 20$   $\phi 20 \times 30 \times 4$  普通コンクリート  
 蒸気養生時せん断応力 }

引張強度 { シリーズA  $\phi 16 \times 16$   $\phi 20 \times 30 \times 4$  }

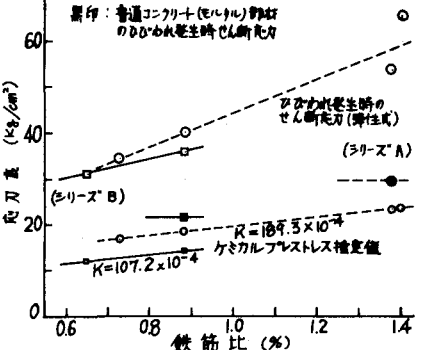


図7 ひびわれ強度とケミカルプレストレス計算値